

# О применении динамически перестраиваемых диаграмм Вороного к контролю технологических правил

М.В. Шеблаев, Р.В. Ерохин, А.Н. Яхонтов

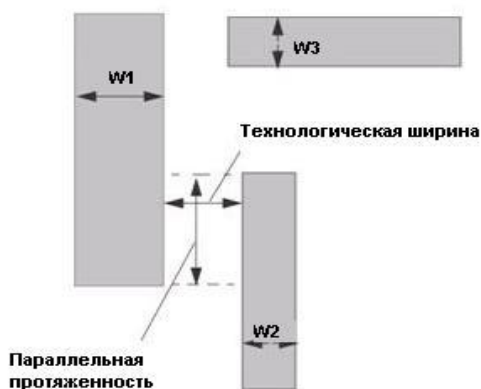
eASIC Corporation, sheblaev@gmail.com

**Аннотация** — В данной статье рассмотрено приложение алгоритма динамической модификации диаграммы Вороного для манхэттенских многоугольников к задаче проверки технологических правил для субмикронных процессов.

**Ключевые слова** — трассировка, диаграмма Вороного, WBC, алгоритм Клейна.

## I. ВВЕДЕНИЕ

Современные субмикронные технологические процессы предъявляют новые требования к контролю технологических норм и правил на этапе проектирования СБИС. Примером такого правила может служить требование соблюдения необходимого расстояния между элементами топологии СБИС, зависящего от взаимной протяженности и ширин этих объектов - так называемое правило width-length based clearance (WBC).



**Рис. 1.** Пример ограничений, порожденных правилом соблюдения необходимого расстояния между элементами топологии

Пример ограничений, порожденных таким правилом, продемонстрирован на рис. 1. Здесь на технологически допустимое расстояние между объектами влияют три параметра: совместная параллельная протяженность, ширина первого объекта на участке совместной протяженности и ширина второго объекта на этом же участке. Заметим, что шириной прямоугольника в данном случае считается меньшая из его проекций на оси, а длиной,

соответственно, большая. Совместная параллельная протяженность считается по проекции осевых отрезков, соответствующих "длинной" стороне. На приведенном примере объекты с помеченными ширинами  $W1$  и  $W3$  имеют формально нулевую совместную параллельную протяженность, поэтому это правило не может быть применено для объектов, имеющих помеченные ширины  $W2$  и  $W3$ .

Стандарт формата данных LEF/DEF 5.7, широко используемого в САПР СБИС, описывает задание данного правила следующим образом [1]:

```
[ SPACINGTABLE
```

```
PARALLELRUNWIDTH {length} ...
```

```
{ WIDTH w {spacing} }
```

```
[TWOWIDTHS {WIDTH w PRL len {spacing} ... }... ;
```

```
];
```

На стадии проектирования трассировки широко используются САПР, позволяющие интерактивно изменять топологию локально. Для таких изменений очень полезно осуществлять контроль технологических норм в момент модификации проектной БД, динамически пересчитывая необходимые ограничения и позволяя инженеру не допускать нарушений технологических правил. В данной работе рассмотрен алгоритм контроля правила WBC, оптимизированный по производительности для применения в интерактивной трассировке.

Элементами топологии в шаблонной модели представления топологии являются манхэттенские многоугольники - замкнутые многоугольники со сторонами, параллельными осям координат. Заметим, что очевидная декомпозиция таких многоугольников с помощью сканирующей прямой на прямоугольники для последующего анализа правила WBC, не применима в силу неоднозначности определения длин элементов такой декомпозиции.

## II. БАЗОВЫЕ ПОНЯТИЯ И ОПРЕДЕЛЕНИЯ

Для последующего изложения опишем некоторые базовые понятия, следуя идеям работ [2], [3].

Далее под многоугольниками мы будем понимать связанные манхэттенские многоугольники (не обязательно односвязные).

*Сайтом* будем называть либо ребро многоугольника, либо вершину многоугольника

*Бисектором* двух сайтов будем называть множество точек, равноудаленных от этих сайтов в метрике  $L_\infty$ , где расстояние между произвольными точками  $a$  и  $b$  определяется как  $d(a, b) = \max(|x_a - x_b|, |y_a - y_b|)$ . Напомним, что в метрике  $L_\infty$  точки, равноудаленные от заданной, т.е. окружность, будут совпадать с квадратом со сторонами, параллельными осям координат. Для бисектора естественным образом определено расстояние  $d(B)$  как наименьшее расстояние до сайтов, определяющих данный бисектор. В метрике  $L_\infty$  бисекторами для сайтов манхэттенских многоугольников могут быть отрезки, параллельные осям, отрезки, образующие угол в 45 градусов к осям координат, и точки.

Пусть на плоскости задана совокупность сайтов  $S$ . *Ячейкой Вороного* сайта  $s \in S$  называется множество точек плоскости, для которых этот сайт является ближайшим.

*Диаграммой Вороного* совокупности сайтов  $S$  называется множество всех граничных точек ячеек Вороного сайтов из  $S$ . Далее под диаграммой Вороного будем подразумевать ограниченную диаграмму Вороного, являющуюся частью диаграммы Вороного, ограниченной внутренностью многоугольника.

*Ядром Вороного* для многоугольника будем называть множество, состоящее из сайтов-отрезков диаграммы Вороного, параллельных осям координат.

Пусть  $p \in B$  - точка бисектора двух сайтов, тогда  $C(p) = \{x \mid d(p, x) \leq d(B)\}$  -  $d(B)$ -окрестность точки  $p$ . Очевидно, что для бисектора-отрезка  $B$  из ядра Вороного совокупность  $d(B)$ -окрестностей всех его точек образует прямоугольник, называемый *прямоугольником ядра*.

Можно показать (см. [3]), что точки  $d(B)$ -окрестностей бисекторов, не параллельных осям координат, будут покрыты элементами ядра Вороного. Тем самым мы приходим к следующему факту:

**Утверждение 1:** Произвольный манхэттенский многоугольник единственным образом разложим в объединение прямоугольников из его ядра.

Таким образом, при проверке выполнения правил WBC мы можем проверять их для соответствующих прямоугольников ядра. Это позволит нам корректно определять эффективные ширины и эффективные параллельные длины при сохранении точности и сокращении времени выполнения проверки.

При инкрементальной модификации топологии в процессе ручной разводки трассировки возникает следующая задача:

требуется разработать метод декомпозиции манхэттенского многоугольника на прямоугольники ядра, позволяющий быстрое обновление декомпозиции при вставке и удалении новых сайтов.

### III. АЛГОРИТМ ИНТЕРАКТИВНОГО КОНТРОЛЯ ТЕХНОЛОГИЧЕСКИХ ПРАВИЛ

При интерактивной трассировке операциями, меняющими топологию, являются операции добавления и удаления манхэттенского прямоугольника к имеющемуся манхэттенскому многоугольнику, являющемуся шаблоном представлением топологии цепи. Очевидно, что перестроение диаграммы Вороного на каждой операции добавления и удаления является наиболее затратной частью алгоритма.

К счастью, в работах [3], [4] предложены алгоритмы построения диаграммы Вороного, затрачивающие время  $O(n)$  на, соответственно, добавление и удаление объектов в диаграмму с  $n$  объектами и не требующие полного перестроения диаграммы Вороного.

#### A. Инкрементальное построение диаграммы Вороного

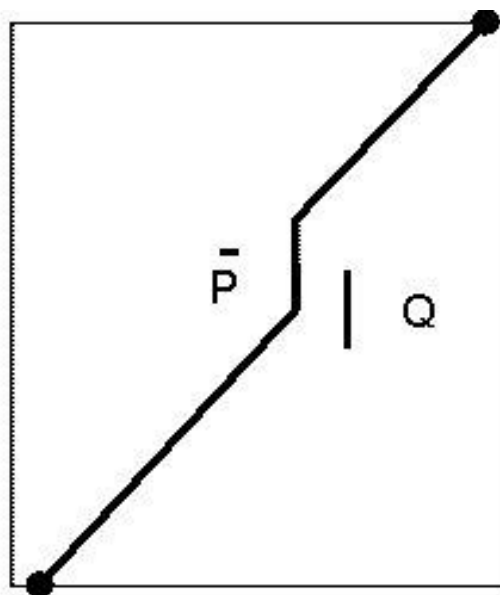


Рис. 2.

Инкрементальный алгоритм Клейна, изложенный в общем виде в работе [4], перестраивает диаграмму локально после добавления объектов в случайном порядке. Не вдаваясь в подробности, приведем его общую идею:

1. На начальном этапе имеется построенная диаграмма Вороного, в которую добавляется объект  $s$ . Такая диаграмма может быть построена для двух произвольных начальных объектов.
2. Используя базовую операцию **basic\_op(p,q,r,t,s)**, описанную ниже, найдем множество  $T$  вырезаемых ребер Вороного.

3. Удалим из начальной диаграммы ребра из  $N$ , полностью поглощаемые изменяемой областью  $S$ .
4. Добавим ребра, ограничивающие модифицируемую область в порядке циклического обхода внешней грани  $T$ .
5. Обновим структуру данных, позволяющую получать информацию о множестве всех ребер диаграммы Вороного, пересекаемых заданным.

Определим *prqt-ребро* как бисектор двух сайтов диаграммы Вороного, разделяющий объекты  $p$  и  $q$  так, что при обходе окрестности ребра по часовой стрелке объекты  $p, r, q, t$  встречаются в данном порядке.

Алгоритм Клейна, описанный в общем виде в работе [4], требует для своей работы конкретизации базовой операции **basic\_op(p,r,q,t,s)**, которая определяет тип пересечения *prqt*-ребра и ячейки Вороного объекта  $s \in \{p,q,r,t\}$

#### В. Базовая операция **basic\_op(p,q,r,t,s)**

##### Входные данные

Пятёрка объектов  $(p,r,q, t,s)$  таких, что диаграмма Вороного для  $(p,r,q,t,s)$  содержит *prqt*-ребро  $e$  и  $s \notin \{p,q,r,t\}$ .

##### Результат

Вид пересечения ячейки Вороного объекта  $s$  и *prqt*-ребра

1. пересечение пусто;
2. пересечение непустое и связное:
  - a. ребро  $e$  целиком;
  - b. отрезок  $e$ , инцидентный *prq*-вершине;
  - c. отрезок  $e$ , инцидентный *qtr*-вершине;
  - d. отрезок, не инцидентный ни одному из концов  $e$ ;
3. пересечение непустое и состоит из двух связных компонент, инцидентных концам  $e$ .

В случае метрики  $L_\infty$  и манхэттенских многоугольников эта операция выглядит следующим образом:

- Построим полный бисектор  $B(p, q)$  объектов  $p$  и  $q$ .
- Для каждого набора  $(t,p), (t,q), (r,p), (r,q)$  вычислим области доминирования  $D(x, y) = \{u \mid d(u, x) < d(u, y)\}$ .
- Для каждого набора  $(s,p), (s,q), (r,s), (s,t)$  вычислим области доминирования  $D(x, y) = \{u \mid d(u, x) < d(u, y)\}$ . При вычислениях для оптимизации пользуемся тем фактом, что отрезки полного бисектора и границ областей доминирования могут быть либо параллельны

осям координат, либо составлять угол 45 градусов.

- Оставшаяся ломаная будет *prqt*-ребром, тип пересечения которого с областями доминирования наборов  $(s,p), (s,r), (s,q), (s,t)$  будет искомым результатом функции **basic\_op(p,r,q,t,s)**.

Алгоритма Клейна подробно изложен в оригинальной работе [4]. Сложность алгоритма добавления элемента в диаграмму Вороного составляет  $O(n)$  при реализации операции **basic\_op** за время  $O(1)$  и отказе от использования "графа истории", вызванного необходимостью использования операции удаления элемента.

#### С. Удаление объекта из диаграммы Вороного

*Ребром* будем называть наибольшее по включению связное подмножество  $e$  точек диаграммы Вороного, такое, что любая точка  $x \in e$  лежит на границе ячеек ровно двух объектов. Определим соседние ячейки для заданной ячейки Вороного  $v$  как ячейки диаграммы Вороного, имеющие общее ребро с  $v$ .

Пусть  $s$  - объект, который мы хотим удалить из диаграммы Вороного.

1. Определим множество соседей для заданного объекта  $S$ .
2. Удалим из исходной диаграммы Вороного ребра ячейки Вороного для объекта  $s$ .
3. Построим диаграмму Вороного  $V'$  для соседей  $s$ .
4. Найдем пересечение диаграммы  $V'$  с удаленной на шаге 1 ячейкой.
5. Склеим основную диаграмму Вороного и диаграмму  $V'$ , удаляя вершины степени 2.

Как видно, изменения в основной диаграмме Вороного носят локальный характер. В работе [5] показано, что сложность алгоритма удаления составляет  $O(\log n)$ .

#### Д. Контроль технологических правил с применением диаграмм Вороного

Как уже отмечалось выше, при интерактивном проектировании топологии цепи мы должны контролировать выполнение правила WBC.

Построим диаграмму Вороного в метрике  $L_\infty$  для шаблонной модели цепи и будем поддерживать ее в актуальном состоянии при помощи динамического алгоритма, описанного выше.

Согласно утверждению 1, переход от диаграммы Вороного к представлению цепи в виде осевых сегментов однозначен и обратим. Такими сегментами будут являться бисекторы ядра Вороного. Нагрузим каждый сегмент значением ширины соответствующего данному сегменту элемента шаблонной модели. Тогда для вычисления истинной длины манхэттенского

прямоугольника в декомпозиции шаблонной модели цепи достаточно вычислить сумму длины бисектора и ширины.

Пусть таблица зависимостей технологических расстояний от ширин проводников и параллельных длин задана следующим образом:

SPACINGTABLE

```

PARALLELRUNWIDTH {l1}
  { WIDTH w11 {s11} WIDTH w12 {s12} }
PARALLELRUNWIDTH {l2}
  { WIDTH w21 {s21} WIDTH w12 {s22} }
...
PARALLELRUNWIDTH {li}
  { WIDTH wi1 {si1}... WIDTH wij {sij} ... }
...;

```

Сопоставим каждому осевому сегменту ширины  $w_{ij}$  семейство функций  $S_{w_{ij}(l_i)}$ , задаваемых таблицей. Для каждого элемента этого семейства построим прямоугольник, имеющий  $w_{ij}$  осевым с шириной  $\frac{d(w_{ij})}{2} + S_{w_{ij}(l_i)}$ . Таким образом, для каждого сегмента мы имеем "контрольные зоны", в которых нужно проверять наличие сегментов с приписанной шириной не меньше  $v$  и имеющих проекцию на данный сегмент не короче  $l_i$ .

#### IV. ЗАКЛЮЧЕНИЕ

Подход, базирующийся на динамическом перестроении диаграмм Вороного, был реализован при разработке интерактивного модуля трассировки САПР СБИС и позволил существенно повысить производительность алгоритмов интерактивной трассировки, а также повысить качество интерактивной проверки технологических норм. Кроме того, алгоритм, использующий построенные диаграммы Вороного, применялся и для проверки соблюдения технологических правил на уже существующей топологии.

#### ЛИТЕРАТУРА

- [1] LEF/DEF Language Reference version 5.7 / [www.si2.org](http://www.si2.org)
- [2] Papadopoulou E. Critical Area Computation for Missing Material Defects in VLSI Circuits // IEEE Transactions on Computer-Aided Design of Integrated Circuits and Systems. 2001. Vol. 20. № 5. P. 583–597.
- [3] Малинаускас К.К. Динамическое построение абстрактных диаграмм Вороного // *Фундаментальная и прикладная математика*. 2007. Т. 13. № 2. С. 141–154.
- [4] Klein R., Mehlhorn K., Meiser S. Randomized incremental construction of abstract Voronoi diagrams // *Computational Geometry: Theory and Applications*. 1993. Vol. 3. № 3. P. 157–184.
- [5] Малинаускас К.К. Разработка математического и программного обеспечения систем топологического проектирования СБИС с использованием диаграмм Вороного. М.: МИЭТ, 2007. С. 117.